

МАСИВНЕ ПЕРЕНОРМУВАННЯ ПРИ НЕЦЛІЙ ВИМІРНОСТІ ПРОСТОРУ

Ю. Головач^{1,2}

¹ Інститут фізики конденсованих систем НАН України
бул. Свєнціцького, 1, Львів, 79011, Україна

² Львівський національний університет ім. І. Франка, кафедра теоретичної фізики,
бул. Драгоманова, 12, Львів, 79005, Україна

(Отримано 31 серпня, 1999)

Обговорюється спосіб дослідження критичної поведінки при нецлій вимірності простору d . Обчислення проведено на підставі рівнянь масивної теорії поля (рівнянь Каллена–Симанціка) при фіксованому нецлому d . Зроблено огляд робіт, у яких отримані кількісні характеристики критичної поведінки декількох широковживаних моделей статистичної фізики.

Ключові слова: ренормалізаційна група, критичні явища, критичний показник, асимптотичний ряд.

PACS number(s): 05.10.Cc, 11.10.Gh, 64.60.-i, 75.10.Hk

I. ВСТУП

Серед наукової спадщини Миколи Боголюбова чільне місце належить працям [1], у яких сформульовано метод ренормалізаційної групи (РГ). Виникнувши в 50-х роках у задачах квантової теорії поля [2,3,1], сьогодні РГ стала потужним загальним методом теоретичної й математичної фізики [4]. Зокрема на РГ підході значною мірою ґрунтуються сучасна теорія критичних явищ [5]. Метою цієї статті, присвяченої 90-річчю від дня народження М. М. Боголюбова, є сформулювати узагальнення одного з варіантів методу РГ на випадок нецлової вимірності простору і провести огляд робіт, у яких за допомогою такого підходу досліджували критичну поведінку декількох часто вживаних моделей статистичної фізики.

На сьогодні існують різні формулювання методу РГ стосовно теорії критичних явищ. Важливою рисою, притаманною різним РГ підходам до аналізу критичних явищ, є те, що теорія критичних явищ оперує певним колом понять, спільних для опису зовсім різних систем, свою чергою, метод РГ дозволяє знайти їхні кількісні характеристики. Це асимптотичні значення критичних показників та відношення амплітуд, що описують поведінку системи в околі критичної точки; рівняння для потоків РГ та ефективні показники, що характеризують наближення до критичної області; нерухомі точки тощо. Визначення цих характеристик та передбачення можливості критичних явищ у різних системах і становить предмет теорії. Причому, тоді як розташування критичних точок, особливості наближення до критичної області, її розмір є специфічними для кожної окремо взятої системи і визначаються її мікрокопічними параметрами, поведінка в близькому околі критичної точки є універсальною. У ранніх теоріях критичних явищ універсальность трактувалась як однаковість поведінки в околі критичної точки в усіх системах, незалежність її ні від яких параметрів. Сучасне розуміння універсальности передбачає, що поведінка в близь-

кому околі критичної точки залежить від певних глобальних характеристик систем. Стосовно спільноти або відмінності цих характеристик, останні можуть бути поділені на певні класи універсальності. До таких характеристик належать вимірність простору, вимірність та симетрія параметра впорядкування. Зокрема предметом аналізу, проведеного в цій статті, будуть декілька моделей, що належать до різних класів універсальності (різна вимірність параметра впорядкування й різна симетрія). Ми розглянемо метод досліджень, що дозволяє отримати кількісні характеристики критичної поведінки цих моделей при довільному (нечлому) значенні вимірності простору, яка є глобальною змінною й чинить кардинальний вплив на критичну поведінку.

Стаття побудована так: у наступному розділі ми коротко зупинимося на основних причинах, що викликають зацікавлення в дослідженні критичної поведінки при нецлій вимірності простору d , та сформулюємо умови перенормування масивної теорії поля для нецлого d . Далі ми зробимо огляд робіт, у яких запропоновані шляхи досліджень реалізовано для декількох популярних моделей статистичної фізики: моделі Ізинга (розділ III), t -векторної моделі (розділ IV) та невпорядкованої t -векторної моделі із замороженим безладом (розділ V). Загальні висновки та обговорення отриманих результатів наведені в розділі VI.

II. РІВНЯННЯ КАЛЛЕНА–СИМАНЦІКА ДЛЯ ДОВІЛЬНОЇ ВИМІРНОСТІ ПРОСТОРУ

Роботи, результати яких викладені нижче, були викликані недавнім інтересом до вивчення фазових переходів другого роду у випадку, коли вимірність простору d є нецлою. Поняття нецлової вимірності простору вже стало звичним у теорії критичних явищ. Є ціла низка причин для запровадження цієї концепції: з одного боку, розгляд вимірності прос-

тору (або її відхилення від якогось фіксованого значення) як неперервної змінної й параметра розкладу теорії збурень дозволяє отримати результати і для цілого значення d . Тут можна згадати не лише знаменитий $\varepsilon = 4 - d$ розклад [6], застосування якого в теорії критичних явищ привело до обчислення надійних значень критичних показників багатьох тривимірних ($d = 3$) моделей [5], але й $\varepsilon = d - 1$ розклад, запропонований для моделі майже плоскої поверхні розділу (near planar interface model) [7–9], моделі краплини (droplet model) [10], $\sqrt{\varepsilon}$ -розклад для слабо розведені моделі Ізинга [11,12] тощо. З іншого боку, неперервна зміна просторової вимірності шляхом аналітичного продовження гіперкубічних ґраток на нецілі d використовується для того, щоб пов'язати результати, отримані для певного фіксованого d , з точними результатами (якщо вони існують) або з результатами, отриманими іншими методами, і, таким чином, перевірити надійність того чи іншого способу обчислень. Щобільше, у деяких модельних системах спостерігається можливість виникнення нового типу явищ, починаючи з певної (нечілої) вимірності простору, що приводить до потреби визначення цієї маргінальної вимірності. Таким чином, задача дослідження критичної поведінки модельних систем при нецілому d перетворюється у самостійну. Так, наприклад, для моделі Ізинга такі дослідження проводили за допомогою різноманітних підходів [13–19] (докладніше про це див. у наступному розділі).

У більшості із згаданих вище робіт аналітичне продовження за вимірністю простору d має чисто формальний характер. Свого часу це викликало інтерес до порівняння значень критичних показників, отриманих таким шляхом, із значеннями критичних показників відповідних спінових систем, розташованих у вузлах самоподібних фрактальних ґраток [20], де неціла фрактальна вимірність має безпосередню геометричну інтерпретацію [21]. Проте опис фракталу включає ще декілька характеристик, що можуть змінюватися одна незалежно від іншої. Крім фрактальної вимірності, це: топологічна вимірність, раміфікація, зв'язність, лакунарність [21]. Виявляється, що критичні показники суттєво залежать від цих параметрів [20,22] і лише у границі нульової лакунарності результати для спінових систем на фрактальних ґратках можна інтерполювати за допомогою аналітичного продовження до нецілих d . Питання відповідності критичної поведінки на фрактальних ґратках критичній поведінці на інтерпольованих гіперкубічних ґратках все ще залишається відкритим [23].

Як тепер добре відомо, дослідження критичних властивостей, що виникають у моделях статистичної фізики в околі точки фазового переходу другого роду, можна проводити в термінах Евклідової теорії поля, лагранжіан якої певним чином відповідає гамільтоніанові вихідної моделі статистичної фізики [5]. Так, критичну поведінку моделі Ізинга в околі точки фазового переходу другого роду можна описати Ев-

клідовою теорією поля з лагранжіаном:

$$\mathcal{L}(\phi) = \int d^d R \left\{ \frac{1}{2} [|\nabla \phi|^2 + m_0^2 \phi^2] + \frac{\lambda_0}{4!} \phi^4 \right\}, \quad (1)$$

де m_0^2 — лінійна функція температури, λ_0 — неперенормована (гола) константа взаємодії, $\phi = \phi(R)$ — однокомпонентне поле. Модель можна узагальнити, уводячи в (1) мультиплет m полів, що формує представлення групи $O(m)$. У цьому випадку лагранжіан (1) набуває форми:

$$\mathcal{L}(\vec{\phi}) = \int d^d R \left\{ \frac{1}{2} [|\nabla \vec{\phi}|^2 + m_0^2 |\vec{\phi}|^2] + \frac{\lambda_0}{4!} |\vec{\phi}|^4 \right\}, \quad (2)$$

де $\vec{\phi} = \vec{\phi}(R)$ — векторне поле $\vec{\phi} = (\phi^{(1)}, \phi^{(2)}, \dots, \phi^{(m)})$. Відповідний спіновий гамільтоніян містить скалярний добуток m -компонентних векторів \mathbf{S}_R і є гамільтоніяном m -векторної моделі. Критична поведінка m -векторної моделі із слабким “замороженим” безладом (weakly diluted quenched m -vector model), коли “спіні” \mathbf{S}_R випадково розподілені у вузлах ґратки і зафіковані в певній конфігурації, може бути описана в термінах лагранжіана, що містить дві константи взаємодії [12]:

$$\mathcal{L}(\phi) = \int d^d R \left\{ \frac{1}{2} \sum_{\alpha=1}^n [|\nabla \vec{\phi}^{(\alpha)}|^2 + m_0^2 |\vec{\phi}^{(\alpha)}|^2] + \frac{\lambda_{0,1}}{4!} \left(\sum_{\alpha=1}^n |\vec{\phi}^{(\alpha)}|^2 \right)^2 + \frac{\lambda_{0,2}}{4!} \sum_{\alpha=1}^n \left(|\vec{\phi}^{(\alpha)}|^2 \right)^2 \right\}, \quad (3)$$

у реплічній границі $n \rightarrow 0$. Тут $\lambda_{0,1} < 0, \lambda_{0,2} > 0$ — голі константи взаємодії, а кожна компонента $\vec{\phi}^{(\alpha)}$ є вектором $\vec{\phi}^{(\alpha)} = (\phi^{(\alpha,1)}, \phi^{(\alpha,2)}, \dots, \phi^{(\alpha,m)})$.

Для дослідження особливостей критичної поведінки використаємо метод теоретико-польової РГ, відомий у різних варіантах. Одним із них є ренормалізація одночастинково незвідніх вершинних функцій при нульових зовнішніх імпульсах і ненульовій масі, що приводить до рівнянь масивної теорії поля — рівнянь Каллена–Сіманціка. Такий шлях дослідження критичної поведінки запропонував Дж. Парізі [24]. При цьому аналізуються безпосередньо дво-або тривимірні теорії ($d = 2, d = 3$) і, таким чином, не застосовується ε -розклад. Дотримуючись ідеї Дж. Парізі, ми розглянули [31,32] умови нормування масивної теорії поля теж при фіксованій вимірності простору d . Однак, маючи метою дослідити критичну поведінку модельних систем при довільному нецілому d , ми зберегли залежність від вимірності простору, як від параметра. Одночастинкова незвідна (1PI — one particle irreducible) вершинна функція $\Gamma^{(L,N)}(p_1, \dots, p_L; k_1, \dots, k_N; m_0^2; \{\lambda_0\}; \Lambda_0; d)$ може бути означена як [33]:

$$\delta\left(\sum p_i + \sum k_j\right)\Gamma^{(L,N)}(\{p\};\{k\};m_0^2;\{\lambda_0\};\Lambda_0;d) = \int^{\Lambda_0} e^{i(p_i r_i + k_j R_j)} d^d r_1 \dots d^d r_L d^d R_1 \dots d^d R_N \langle \phi^2(r_1) \dots \phi^2(r_L) \phi(R_1) \dots \phi(R_N) \rangle_{1PI}^{\mathcal{L}}. \quad (4)$$

У (4) $\{p\}, \{k\}$ — сукупність зовнішніх імпульсів, Λ_0 — імпульс обрізання, а усереднення проводиться з відповідним лагранжіяном (напр., (1)–(3)). В асимптотичній границі $\Lambda_0 \rightarrow \infty$ неперенормовані вершинні функції є розбіжними. Переход від теорії, залежної від голих змінних, до перенормованої теорії можна здійснити за допомогою контролюваного перегрупування рядів для вершинних функцій. Як уже зазначалось вище, таке перенормування можна здійснити за допомогою декількох асимптотично еквівалентних процедур. Ми обираємо умови нормування при нульових зовнішніх імпульсах і відмінній від нуля масі в границі $\Lambda_0 \rightarrow \infty$ [5]:

$$\begin{aligned} \Gamma_R^{(0,2)}(k, -k; m^2, \{\lambda\}; d)|_{k=0} &= m^2, \\ \frac{d}{dk^2}\Gamma_R^{(0,2)}(k, -k; m^2, \{\lambda\}; d)|_{k=0} &= 1, \\ \Gamma_{R,\lambda_j}^{(0,4)}(\{k\}; m^2, \{\lambda\}; d)|_{\{k\}=0} &= m^{4-d}\lambda_j, \\ \Gamma_R^{(1,2)}(p; k, -k; m^2, \{\lambda\}; d)|_{p=k=0} &= 1, \end{aligned} \quad (5)$$

де m і $\{\lambda\}$ [33] — перенормовані маса і константи взаємодії: $m = Z_3 m_1 = Z_3 \Gamma^{(0,2)}(0; m_0, \{\lambda_{0,i}\})$, $\lambda_i = m^{d-4} Z_3^2 Z_{1,\lambda_i}^{-1} \lambda_{0,i}$. У (5) і нижче ми явно вказуємо на залежність перенормованих вершинних функцій $\Gamma_R^{L,N}$ від вимірності простору d . З умов 5 можна отримати розклади для констант перенормування поля (Z_3), вершин $\lambda_{0,i}$ (Z_{1,λ_i}) і двоточкової вершинної функції зі вставленим ϕ^2 (Z_2). Асимптотично близько до критичної точки перенормовані вершинні функції $\Gamma_R^{(N,L)}(\{p\}; \{k\}; m^2, \{\lambda\}; d)$ задовільняють однорідне рівняння Калленса–Симанціка [5]:

$$\left\{ m \frac{\partial}{\partial m} + \sum_i \beta_{\lambda_i}(\{\lambda\}) \frac{\partial}{\partial \lambda_i} - \left(\frac{N}{2} - L \right) \gamma_\phi(\{\lambda\}) + L \bar{\gamma}_{\phi^2}(\{\lambda\}) \right\} \Gamma_R^{(N,L)}(\{p\}; \{k\}; m^2, \{\lambda\}; d) = 0, \quad (6)$$

із коефіцієнтами:

$$\begin{aligned} \beta_{\lambda_i}(\{\lambda\}) &= \frac{\partial \lambda_i}{\partial \ln m}|_0, \\ \gamma_\phi \equiv \gamma_3 &= \frac{\partial Z_3}{\partial \ln m}|_0, \\ \bar{\gamma}_{\phi^2} \equiv \gamma_2 &= -\frac{\partial Z_2}{\partial \ln m}|_0, \end{aligned} \quad (7)$$

де індекс 0 означає диференціювання при фіксованих голих параметрах. У стійкій нерухомій точці $\{\lambda^*\}$, координати якої є нулем β -функцій:

$$\beta_{\lambda_i}(\{\lambda^*\}) = 0, \quad i = 1, 2, \dots, \quad (8)$$

функція γ_ϕ визначає величину критичного показника парної кореляційної функції η :

$$\eta = \gamma_\phi(\{\lambda^*\}), \quad (9)$$

а критичний показник кореляційної довжини ν визначається як

$$\bar{\gamma}_{\phi^2}(\{\lambda^*\}) = 2 - \nu^{-1} - \eta. \quad (10)$$

Дослідження критичної поведінки при нецілій вимірності простору, результати яких викладені у наступних розділах статті, базуються на розгляді рівнянь Калленса–Симанціка (6) (чи умов нормування масивної теорії (5)) безпосередньо при довільному нецілому значенні d [31,32].

Застосовуючи умови нормування масивної теорії поля до одночастинково незвідніх вершинних функцій $\Gamma^{(L,M)}$, можна отримати вирази для перенормованих вершинних функцій $\Gamma_R^{(L,M)}$ у вигляді рядів теорії збурень за перенормованими константами взаємодії λ_i . Зображені члени ряду у вигляді фейнманівських діяграм, легко зауважити, що певному порядку теорії збурень за λ_i відповідає певна кількість петель у діяграмі (рівна кількості інтегрувань за внутрішніми імпульсами). Числові значення петлевих інтегралів (loop integrals) залежать лише від вимірності

простору і є однаковими для задач різної симетрії. Вони необхідні для отримання величин коефіцієнтів ряду теорії збурень за λ_i . У випадку вимірності простору $d = 2, d = 3$ значення петлевих інтегралів протабульовані у [28]. Фактично кожна робота, присвячена дослідженню критичної поведінки дво- чи тривимірних систем за допомогою рівнянь масивної теорії поля, містить поклик на результати Бейкера, Мейрона і Нікеля [28]. Застосовуючи техніку фейнманівської параметризації та прямого інтегрування, ми отримали вирази для дво- та трипетлевих інтегралів, які залежать від d як від параметра, і протабулювали їхні числові значення [29], що стало основою для дослідження критичної поведінки у просторі нецілої вимірності. Зазначимо, що кратність двопетлевих інтегралів є $2 \times d$, а трипетлевих — $3 \times d$ (тобто перша змінюється від 0 до 8, а друга — від 0 до 12, коли d змінюється від 0 до 4). Тоді як у випадку цілої вимірності простору відомі способи, що дають можливість скористатися внутрішньою симетрією інтегралів [39], у випадку нецілого d не всі вони в принципі є застосовними.

Отримані вирази для петлевих інтегралів, а також їхні числові значення дозволяють досліджувати критичну поведінку різних модельних систем при довільному значенні вимірності простору. У наступних розділах ми реалізуємо це завдання для моделей (1)–(3). Вихідними для наших досліджень будуть вирази для β - та γ -функцій моделей (1)–(3), отримані у схемі масивного перенормування у трипетлевому наближенні, записані як функції залежних від вимірності простору петлевих інтегралів. Так, для m -векторної моделі (2) РГ функції є такими [40]:

$$\beta(u) = -(4-d) \left[u - u^2 + \beta^{(2)} u^3 + \beta^{(3)} u^4 \right], \quad (11)$$

$$\gamma_\phi = -(4-d) \frac{2(m+2)}{(m+8)^2} u^2 [2i_2 + (4i_2 - 3i_8)u], \quad (12)$$

$$\bar{\gamma}_{\phi^2} = (4-d) \frac{m+2}{m+8} u \left[1 + \gamma^{(2)} u + \gamma^{(3)} u^2 \right]. \quad (13)$$

Тут u — перенормована константа взаємодії [34], i_ℓ — залежні від вимірності петлеві інтеграли (їхні числові значення при різних d наведені в [29]), а індекси (2) і (3) вказують на дво- і трипетлеву частини відповідних функцій:

$$\beta^{(2)} = \frac{8}{(m+8)^2} [(m+2)i_2 + (5m+22)(i_1 - 1/2)],$$

$$\begin{aligned} \beta^{(3)} = & \frac{1}{(m+8)^3} [(-32m^2 - 488m - 1424) + 4(31m^2 \\ & + 430m + 1240)i_1 + (m+2)(m+8)(8+3d)i_2 \\ & - 12(m+2)(m+8)i_3 - 48(m^2 + 20m + 60)i_4 \\ & - 24(2m^2 + 21m + 58)i_5 - 6(3m^2 + 22m + 56)i_6] \end{aligned}$$

$$- 24(5m + 22)i_7 - 12(m+2)(m+8)i_8],$$

$$\gamma^{(2)} = \frac{1}{(m+8)} (1 - 2i_1),$$

$$\begin{aligned} \gamma^{(3)} = & \frac{1}{(m+8)^2} [10(m+8) - (44m + 280)i_1 \\ & + (8 - 3d)(m+2)i_2 + 12(m+2)i_3 + 24(m+8)i_4 \\ & + 6(m+8)i_5 + 18(m+2)i_6]. \end{aligned}$$

Ми не будемо наводити тут відповідні вирази для РГ функцій розведені m -векторної моделі, отримані у дво- [31] та трипетлевому наближеннях [35]. Зауважимо лише, що поряд із явною залежністю від вимірності простору d РГ функції залежать від d через петлеві інтеграли i_1 – i_8 . Підставляючи значення інтегралів у вигляді відповідного ε -розкладу, можна розвинути техніку ε -розкладу для того, щоб дослідити критичну поведінку, генеровану лагранжіанами (1)–(3). У цьому випадку ми відтворимо добре відомі результати. З іншого боку, будучи зацікавленим у дослідженні критичної поведінки при нецілому d , можна скористатися отриманими в [29] значеннями петлевих інтегралів безпосередньо при довільному d . Як тепер добре відомо (див., наприклад, [30, 41, 5]), ряди для ренормгрупових функцій є асимптотичними [36], і для того щоб отримати на їх основі надійну інформацію, слід застосувати процедуру пересумування. Зупинімося на таких обчисленнях докладіше.

III. МОДЕЛЬ ІЗИНГА

Дослідження особливостей критичної поведінки при нецілій вимірності простору розпочнемо з детального аналізу моделі Ізинга. На відміну від інших моделей, що будуть розглянуті нижче, модель Ізинга при довільному значенні d була предметом ґрунтовного аналізу. Тому основне завдання, яке ми ставимо перед собою в цьому розділі, полягає в тому, щоб, застосувавши метод масивної ренормалізації при довільному фіксованому значенні вимірності простору до дослідження моделі Ізинга, перевірити його надійність і достовірність отриманих результатів. Маєтися в уваженні, що першою роботою, у якій досліджувалась критична поведінка моделі Ізинга при нецілій вимірності простору, була робота Майкла Фішера [13]. Проте предметом досліджень була критична температура, а не критичні показники. Серед різних підходів, що використовувались для отримання критичних показників моделі Ізинга при нецілому d , слід назвати ренормалізаційне перетворення Каданова, за допомогою якого були отримані значення температурного та магнетного критичних показників для всіх цілих значень $z = 2^d$ між $z = 2$ і $z = 16$. Це, природно, привело до знаходження значень критичних показників для деяких неціліх d [14]. Пізніше критичні показники моделі Ізинга при нецілій вимірності простору об-

числювали [15] на підставі пересумовування рядів ε -розкладу, записаних із точністю до ε^5 . Ренормгруповий підхід у дійсному просторі [20,16] і високотемпературні розклади [17] також застосовували для розгляду цієї задачі. За допомогою варіаційного методу, застосованого до високотемпературних рядів [18], вивчали вільну енергію d -вимірної моделі Ізинга. Акуратні значення критичних показників моделі Ізинга при низьких вимірностях простору $1 \leq d \leq 2$ були отримані [19] на підставі застосування методу скінченномірного скейлінгу (finite size scaling) до даних, отриманих за допомогою методу трансфер-матриці. Причому трансфер-матриця була записана у спосіб, який дозволяв її інтерполяцію до нецілих вимірностей.

Як уже згадувалось, використання рівнянь масивної теорії поля при фіксованих вимірностях простору $d = 2$, $d = 3$, завдяки пionерським роботам Джорджіо Парізі [24], стало одним із стандартних підходів у сучасній теорії критичних явищ. Мабуть, до появи наших робіт це був єдиний із широко вживаних методів аналізу критичної поведінки, якого ще не використовували при нецілому d . Вихідними виразами для аналізу ε - β -та γ -функції (11)–(13). Причому, ці кавлячись критичною поведінкою моделі Ізинга, ми розглянемо випадок скалярного поля ($m = 1$). Як ми вже зазначали, у зв'язку з асимптотичною природою рядів для ренормгрупових функцій слід застосовувати певну процедуру пересумовування, щоб отримані достовірну інформацію на їх підставі. Результати, одержані в масивній схемі за допомогою пересумовування методом Паде–Бореля, наведені в [40]. Як зазначалось уже в [40], метод Паде–Бореля добре працює, коли вимірність простору не є дуже низькою. Однією з можливих причин є те, що параметр розкладу — значення константи взаємодії в нерухомій точці — зростає із зменшенням d . Зокрема, отримані в [40] результати потребують поліпшення в ділянці d поблизу нижньої критичної вимірності. Покажемо один із можливих способів, як це можна зробити [40].

Як і в [40], оберемо процедуру пересумовування Паде–Бореля. Схема пересумовування є такою. Для функції $f(u)$ (це може бути γ -або β -функція чи їх частина), заданої у вигляді скінченної кількості доданків у розкладі Тейлора:

$$f(u) = \sum_{j=0}^L f^{(j)} u^j, \quad (14)$$

записуємо борелівський образ:

$$F(ut) = \sum_{j=0}^L \frac{f^{(j)}}{j!} (ut)^j. \quad (15)$$

Тоді (15) екстраполюємо у вигляді Паде–апроксиманти $F^P(ut)$ і пересумовану функцію запишемо у формі:

$$f^R(u) = \int_0^\infty dt e^{-t} F^P(ut). \quad (16)$$

Реалізуємо процедуру, у результаті якої вирази (11)–(13) при $m = 1$ привели б до значень критичних показників, що збігалися б із точними значеннями у випадках, коли вони відомі: тобто при вимірностях простору $d = 1$ ($\nu = \gamma = \infty$, $\eta = 1$) і $d = 2$ ($\nu = 1$, $\gamma = 1.75$, $\eta = 0.25$). Для цього оберемо найвищий (наступний після останнього відомого) член ряду теорії збурень вільним параметром і змінюватимо його так, щоб отримати необхідний результат. У випадку ε -розкладу таку процедуру було запропоновано в [37]. Зауважимо, однак, суттєву відмінність у застосуванні такої схеми в рамках ε -розкладу і в ренормгруповому підході при фіксованій вимірності простору. Вимірність d , яка входить у параметр розкладу в техніці ε -розкладу, не міститься в коефіцієнтах жодного з рядів. Таким чином, обравши коефіцієнт вищого порядку $f^{(j+1)}$ як вільний параметр у ряді для певної функції $f(\varepsilon)$ (наприклад, для будь-якого критичного показника)

$$f(\varepsilon) \simeq \sum_{j=0}^L f^{(j)} \varepsilon^j + f^{(j+1)} \varepsilon^{j+1},$$

можна забезпечити збігання результатів лише для однієї обраної вимірності d (в [37] це $d = 2$). На відміну від цього, у схемі, що базується на застосуванні рівнянь РГ при фіксованій вимірності простору, коефіцієнти рядів за перенормованою константою взаємодії u є залежними від вимірності:

$$f(u) \simeq \sum_{j=0}^L f^{(j)}(d) u^j + f^{(j+1)}(d) u^{j+1}.$$

Тоді обраний вираз може містити інформацію про точні результати для декількох значень d (обираючи відповідні значення $f^{(j+1)}(d)$, наприклад, для цілих $d = 1, 2, \dots$). Для проміжних значень d функцію $f^{(j+1)}(d)$ можна апроксимувати гладкою криєвою. Звичайно, що надійність отриманих у такий спосіб результатів значною мірою залежить від того, наскільки гладкою є поведінка функції, яку ми апроксимуємо [38].

Отримані за допомогою описаної процедури пересумовування критичні показники ν , η як функції вимірності d [38] наведені в таблиці I для деяких конкретних значень вимірності простору в порівнянні з даними інших підходів: [15] — із пересумовування ε -розкладу, [18] — за допомогою варіаційного підходу, застосованого до високотемпературних розкладів, [19] — застосуванням методу скінченномірного скейлінгу до даних, отриманих за допомогою методу трасфер-матриці.

d	Дані з роботи [15]		Дані з роботи [18]		Дані з роботи [19]	
	ν	η	ν	η	ν	η
1.250	2.593	.728	1.5-4.5	.30-1.00	1.7-3.4	.758-.83
1.375	1.983	.616	1.6-2.6	.30-0.80	1.6-2.9	.635-.679
1.500	1.627	.519	1.45-1.85	.35-0.65	1.49-1.84	.567-.631
1.650	1.353	.420	1.30-1.44	.30-0.50	1.27-1.38	.450-.507
1.750	1.223	.363	1.20-1.26	.30-0.40	1.18-1.26	.396-.425
1.875	1.098	.303	1.09-1.11	.27-0.33	1.11-1.13	.312-.322
2.000	1.000	.250	1.0	.25		.247-.253

Таблиця I. Критичні показники ν , η , отримані в РГ підході при фіксованій вимірності [38] (стовпчики 2,3), у порівнянні з даними, отриманими за допомогою інших підходів (див. текст).

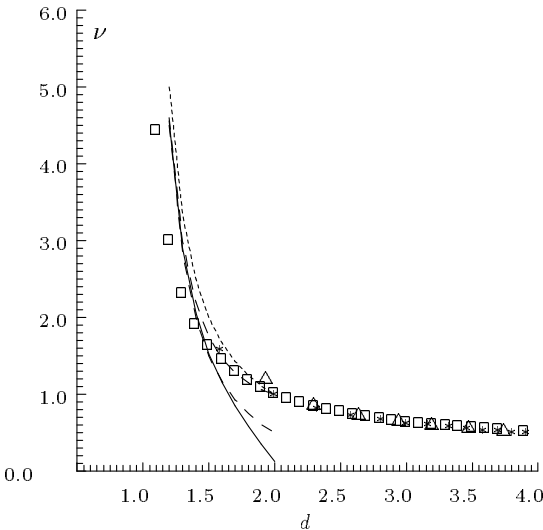


Рис. 1. Критичний показник кореляційної довжини ν як функція вимірності d . Квадратиками показані наші результати, отримані за допомогою РГ підходу при фіксованій вимірності простору з урахуванням точних даних [38], зірочки показують результати [14], трикутники показують дані робіт [26]. Лініями зображені результати $\epsilon' = d - 1$ розкладу для моделі майже плоскої поверхні розділу. Згори вниз: одно- [7], три- [8], дво- [7] і чотирипетлеве [9] наближення.

На рис. 1 ми порівнюємо наші результати для критичного показника ν із результатами $\epsilon' = d - 1$ розкладу для моделі майже плоскої поверхні розділу (у ділянці низьких значень d) з даними, отриманими за допомогою перетворення Каданова [14] і за допомогою аналізу фізичної гілки розв'язків точного рівняння РГ [26]. Значення критичного показника ν для моделі майже плоскої поверхні поділу:

$$\nu = (\epsilon')^{-1} - \frac{1}{2} + \frac{\epsilon'}{2} - \frac{7(\epsilon')^2}{8} \quad (17)$$

показане в першому, другому [7], третьому [8] і четвертому [9] порядках теорії збурень.

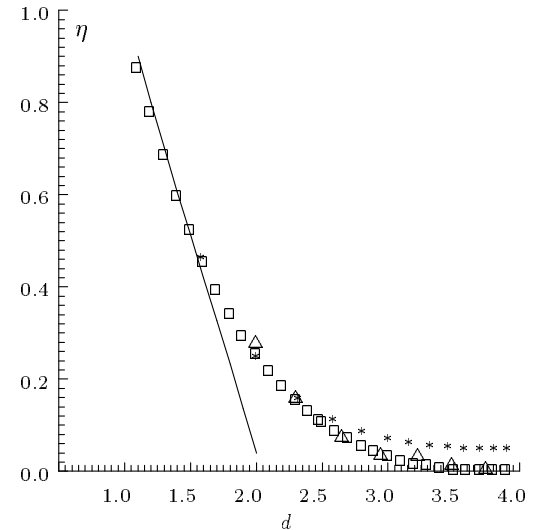


Рис. 2. Критичний показник парної кореляційної функції η як функція вимірності d . Квадратиками показані наші результати, отримані за допомогою РГ підходу при фіксованій вимірності простору з урахуванням точних даних [38], зірочки показують результати [14], трикутники показують дані робіт [26]. Лінія отримана з розв'язку для моделі краплинни [10].

Рисунок 2 дає порівняння наших даних для критичного показника η із результатами, отриманими за допомогою перетворення Каданова [14] і за допомогою аналізу фізичної гілки розв'язків точного рівняння РГ [26], а також із значенням η для моделі краплинни, що записується як [10]:

$$d + \eta = 8\pi^{-1}(\epsilon')^{-(2+\epsilon')/2}[1 + O(\epsilon')]e^{(-1-2C-2/\epsilon')}, \quad (18)$$

де $C \approx 0.577$ — стала Ойлера.

Як видно з таблиці I, наші результати дуже добре узгоджуються з результатами роботи [15], отриманими на підставі пересумованого ϵ -розкладу з використанням точної інформації при $d = 2$. Це легко зрозуміти, особливо, якщо взяти до уваги, що таке ж узгодження має місце для цілих вимірностей $d =$

$2, d = 3$ (див., наприклад, [30,41]). У ділянці вимірностей $1 < d < 2$ наші результати можна порівняти із значенням критичного показника ν моделі майже плоскої поверхні розділу [7], порахованим за допомогою $\varepsilon' = d - 1$ розкладу [7–9]. Існує низка аргументів на підтримку твердження про те, що критична точка цієї моделі ідентична критичній точці ізингівської системи. Тепер уважається, що це твердження справедливе принаймні в сенсі $\varepsilon' = d - 1$ розкладу. Як видно з рис. 1, така ідентифікація дійсно може мати місце. Зазначимо, що криві для критичного показника $\nu(d)$ проходять через точне значення $\nu(2) = 1$, якщо ряд (17) розглядається в одному або в трипетлевому наближенні. Результати РГ підходу при фіксованій вимірності простору узгоджуються з результатами, отриманими для моделі краплини [10] в ділянці низьких значень d , як це видно з рис. 2. Результати, отримані для деяких неціліх d за допомогою переворення Каданова [14] (відзначені на рис. 1 зірочками), також добре узгоджуються з нашими даними. Ми використали співвідношення скейлінгу для того, щоб отримати показник η із ν і δ , наведених у [14]. Ці значення η також зображені зірочками на рис. 2. Видно, що схема [14] приводить до завищених значень η у ділянці $d > 2.5$. Дані, отримані на основі аналізу фізичної гілки розв'язку точних рівнянь РГ [26], також узгоджуються з нашими результатами. Найліпше узгодження має місце в ділянці d поблизу $d = 3$, де, як це було зазначено в [26], такий підхід є ефективнішим.

Акуратні й надійні значення критичних показників для нецілого d отримуємо в ділянці $1 < d <$

2 на підставі застосування методу скінченномірного скейлінгу до даних, одержаних за допомогою методу трансфер-матриці [19] (див. колонки 8,9 таблиці I). У ділянці $d > 1.5$ наші результати добре узгоджуються із цими даними, але для нижчих значень d узгодження гірше. В противагу до цього, у ділянці малих d наші результати узгоджуються з даними, отриманими за допомогою варіаційного підходу до аналізу високотемпературних рядів [18] (колонки 6,7 таблиці I), і знаходяться поза межами точності цієї роботи для ν при $d > 1.875$, а для η при $d > 1.5$.

Із аналізу, проведеного в цьому розділі, робимо висновок, що запропонований метод перенормування так само, як і процедура пересумування, є надійним способом дослідження критичної поведінки при нецілому значенні d , і нижче ми застосуємо їх до аналізу регулярної та структурно невпорядкованої m -векторної моделі.

IV. m -ВЕКТОРНА МОДЕЛЬ

Нагадаймо, що, згідно з теоремою Мерміна–Ваїнера–Гогенберга [42], для m -векторної моделі нижня критична вимірність $d_c = 2$ при $m \geq 2$. Відповідно до результатів розділу III, з метою вдосконалення процедури пересумування введемо у вирази для пересумовних функцій вільні параметри, вибираючи їхні значення з умови, щоб ці вирази приводили до відомих точних результатів для критичної поведінки при $d = 2$ ($\nu = \gamma = \infty$).

d	$m = 2$		$m = 3$		$m = 4$	
	ν	γ	ν	γ	ν	γ
2.0	∞	∞	∞	∞	∞	∞
2.1	1.850	3.510	2.149	4.067	2.443	4.624
2.2	1.329	2.540	1.512	2.884	1.687	3.219
2.3	1.103	2.122	1.235	2.372	1.358	2.610
2.4	.971	1.878	1.072	2.072	1.166	2.253
2.5	.881	1.713	.962	1.869	1.036	2.013
2.6	.816	1.593	.882	1.721	.941	1.837
2.7	.765	1.500	.820	1.606	.868	1.701
2.8	.725	1.425	.770	1.513	.810	1.592
2.9	.691	1.363	.729	1.437	.762	1.502
3.0	.662	1.310	.694	1.371	.721	1.426
3.1	.639	1.266	.665	1.317	.687	1.361
3.2	.618	1.226	.638	1.267	.656	1.303
3.3	.598	1.190	.615	1.223	.629	1.251
3.4	.580	1.156	.593	1.182	.604	1.204
3.5	.564	1.124	.574	1.144	.582	1.161
3.6	.549	1.095	.556	1.110	.562	1.123
3.7	.535	1.069	.540	1.079	.544	1.087
3.8	.522	1.044	.525	1.050	.528	1.056
3.9	.511	1.022	.512	1.025	.514	1.027

Таблиця II. Значення критичних показників ν, γ як функції d для $m = 2, 3, 4$ [43].

Вихідними виразами для аналізу є вирази для β - γ -функцій m -векторної моделі (11)–(13), наведені в розділі II. Так само, як це робилося в розділі III, уведемо в ці вирази доданки вищого порядку як вільні параметри і змінюватимемо їх з метою забезпечення правильної асимптотики при $d = 2$ [42].

Таблиця II містить наші результати для критичного показника кореляційної довжини ν і критичного показника магнетної сприйнятливості γ . Ці результати отримано у трипетлевому наближення за допомогою пересумування Паде–Бореля, введенням додаткових параметрів у процедуру пересумування в ділянці $2 < d < 3$ і без додаткових параметрів для $d > 3$. Наши результати, одержані із застосуванням додаткової інформації про розташування сингулярності в точці $d = 2$, узгоджуються з ренормгруповим результатом роботи [25], де було виявлено сингулярну поведінку критичних показників.

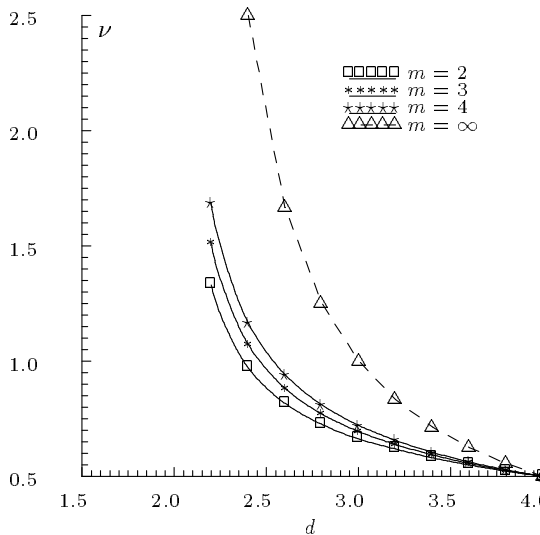


Рис. 3. Критичний показник кореляційної довжини ν як функція вимірності d для $m = 2, 3, 4, \infty$ [43].

На рисунку 3 ми відкладали значення критичного показника m -векторної моделі ν як функцію d для $m = 2, 3, 4, \infty$ [43]. У випадку $m = \infty$ ми відтворюємо точний результат для сферичної моделі [44] $\nu = (d - 2)^{-1}$.

Зазначимо, що, на відміну від моделі Ізинга, дані про критичну поведінку m -векторної моделі при довільному нецільному значенні вимірності d майже відсутні і результати, представлені в цьому розділі, дають на сьогодні найповніший опис такої задачі.

V. ЗАМОРОЖЕНА СЛАБО РОЗВЕДЕНА m -ВЕКТОРНА МОДЕЛЬ

Перейдемо тепер до аналізу розведеній m -векторної моделі, уведеній в розділі II (див. формулу

(3)), при довільній вимірності простору. Ренормгрупові функції цієї моделі, які ми отримали у дво- [31] та трипетлевому наближеннях [35] при довільній вимірності простору, є поліномами за степенями перенормованих констант взаємодії λ_1, λ_2 . Через громіздкість відповідних виразів ми не записуватимемо їх тут у явному вигляді. Знову для обчислення значень критичних показників на основі відомих β - і γ -функцій необхідно застосувати процедуру пересумування. Нижче ми застосуємо процедуру пересумування функцій двох змінних, що базується на простому узагальненні методу Паде–Бореля для однієї змінної [47]. Таку процедуру застосовували для дослідження різних моделей при цілій вимірності простору. Вихідним виразом є обрізаний степеневий розклад:

$$f(\lambda_1, \lambda_2) = \sum_{i,j: i+j \leq L} c_{ij} \lambda_1^i \lambda_2^j. \quad (19)$$

Для такого полінома записуємо борелівський образ:

$$F(\lambda_1 t, \lambda_2 t) = \sum_{i,j: i+j \leq L} \frac{c_{ij}}{(i+j)!} (\lambda_1 t)^i (\lambda_2 t)^j. \quad (20)$$

Тоді борелівський образ $F(x, y)$ екстраполюється раціональною апроксимантою $F^A(x, y)$ і пересумовану функцію $f^R(\lambda_1, \lambda_2)$ записуємо у вигляді інтеграла:

$$f^R(\lambda_1, \lambda_2) = \int_0^\infty F^A(\lambda_1 t, \lambda_2 t) e^{-t} dt. \quad (21)$$

Зупинімось на результатах, отриманих за допомогою такого підходу [31,35]. Як уже зазначено вище, критична поведінка розведеній m -векторної моделі задається лагранжіаном (3) у границі $n \rightarrow 0$. У цьому випадку нас цікавить ділянка перенормованих констант взаємодії $\lambda_2 \geq 0$ і $\lambda_1 \leq 0$. Нерухомі точки визначаємо розв'язком системи рівнянь:

$$\begin{aligned} \beta_{\lambda_1}(\lambda_1^*, \lambda_2^*) &= \lambda_1^* f_{\lambda_1}(\lambda_1^*, \lambda_2^*) = 0, \\ \beta_{\lambda_2}(\lambda_1^*, \lambda_2^*) &= \lambda_2^* f_{\lambda_2}(\lambda_1^*, \lambda_2^*) = 0. \end{aligned} \quad (22)$$

Як видно з (22), Гаусова нерухома точка $\lambda_1^* = \lambda_2^* = 0$ існує завжди. Для виявлення нетривіальних нерухомих точок, узагалі кажучи, необхідно застосувати пересумування. Наведені нижче результати отримані на підставі застосування схеми пересумування (19)–(21) у дво- [31] та трипетлевому [35] наближеннях.

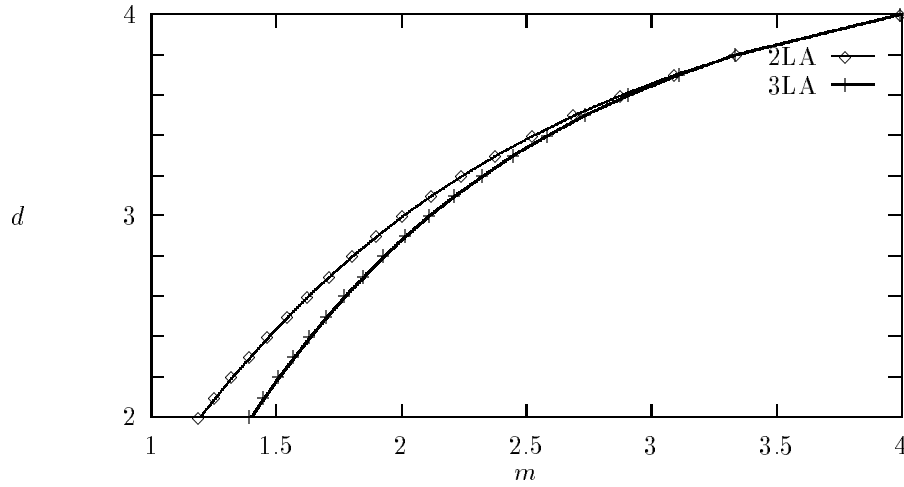


Рис. 4. Значення маргінальної вимірності спіну m_c як функція вимірності простору у дво- [31] (квадратики) і трипетлевому [35] (хрестики) наближеннях.

Нерухома точка є стійкою і визначає критичну поведінку системи, якщо власні значення матриці стійкості $B = \partial\beta_{\lambda_i}(\lambda_1, \lambda_2)/\partial\lambda_j|_{\lambda_1^*, \lambda_2^*}$ мають додатну дійсну частину. Відомо, що для достатньо великих значень m , $m > m_c$, ізотропна нерухома точка ($\lambda_1^* = 0, \lambda_2^* \neq 0$) є стійкою і критична поведінка розведененої системи збігається з критичною поведінкою відповідної чистої системи. Коли кількість компонент параметра впорядкування зменшується, починаючи з маргінального значення m_c , ізотропна нерухома точка стає нестійкою і відбувається перехід (кросовер) до змішаної нерухомої точки ($\lambda_1^* \neq 0, \lambda_2^* \neq 0$). Ця нерухома точка описує нову “випадкову” критичну поведінку. Така картина узгоджується з критерієм Гарріса [45].

У двопетлевому наближенні маємо $m_c \simeq 2.01$ для $d = 3$ і $m_c \simeq 1.19$ для $d = 2$. Обчислення у вищих порядках теорії збурень приводять до результату $m_c < 2$ для $d = 3$. Найкраща теоретична оцінка для m_c у тривимірній теорії $m_c \simeq 1.945 \pm 0.002$ [46]. На рис. 4 ми подаємо результати обчислень значень m_c в ділянці $2 \leq d \leq 4$ у дво- та трипетлевому наближеннях. Для $d = 4$ $m_c = 4$, результат другого порядку ε -розделу $m_c = 4 - 4\varepsilon$ [12]. Для $d = 3$ і $d = 2$ ми відтворюємо у двопетлевому наближенні результати [47]. Із рис. 4 видно, що в ділянці вимірностей $3 < d < 4$ при розведенні виникає новий тип критичної поведінки і для цілих значень $m = 2, m = 3$.

Повернімося до найцікавішого випадку $m = 1$, коли нова критична поведінка спостерігається у всій ділянці $2 < d < 4$. Таблиця III містить значення критичних показників ν, γ та критичного показника питомої теплосмінності α d -вимірних випадкових Ізингівських систем, отримані у дво- [31] і трипетлевому [35] наближеннях. Значення критичного показника кореляційної довжини як функція вимірності простору показане на рис. 5 у порівнянні з результатами інших підходів.

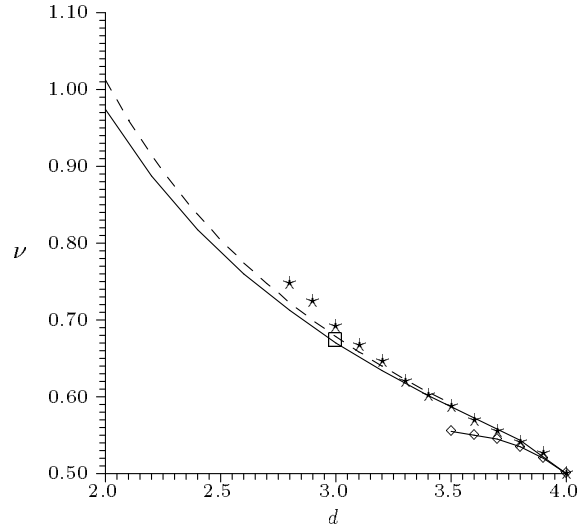


Рис. 5. Значення критичного показника кореляційної довжини слабо розведененої замороженої моделі Ізинга як функція вимірності простору. Штрихова крива — РГ підхід при фіксованій вимірності простору, пересумоване двопетлеве наближення [31], сущльна крива — РГ підхід при фіксованій вимірності простору, пересумоване трипетлеве наближення [35]. Зірочки — результати, отримані методом масштабних полів [27], ромбики — пересумовані [31] $\varepsilon^{1/2}$ -роздел [48]. Квадратиком зображені найточніший із відомих аналітичних результатів для тривимірної теорії [49].

Як видно з таблиці, використання двопетлевого наближення приводить до певного обмеження згори на значення d . Для великих значень вимірності простору $d \geq 3.5$ з'являється полюс у раціональних апроксимантах, що входять в інтегральні представлення β -функцій (21), і відповідні інтеграли стають розбіжними. Перехід до трипетлевого наближення дозволяє розширити ділянку вимірностей.

Результати, отримані в ділянці $2.8 < d < 4$ методом масштабних полів [27], зображені зірочками на рис. 5. Обмеження зліва на значення вимірностей простору викликане тим, що обрізана система рівнянь для масштабних полів [27] не працює для вимірностей простору, менших від $d = 2.8$. На рисунку також показаний найточніший на сьогодні результат тривимірної теорії в чотирипетлевому наближенні [49]. Слід зауважити, що у випадку розведеній моделі Ізинга не можна отримати надійних числових значень критичних показників для $d < 4$ за допомогою ε -розділення. Виродженість рівнянь РГ на однопетлевому рівні зу-

мовлює те, що параметром розкладу в цьому випадку стає $\sqrt{\varepsilon}$ [11, 12]. Ряд $\sqrt{\varepsilon}$ -розділення відомий для критичних показників у п'ятипетлевому наближенні [51, 52]. Асимптотичні властивості ряду $\sqrt{\varepsilon}$ -розділення невідомі, і це не дозволяє використовувати його для отримання надійних числових значень критичних показників достатньо далеко від $d = 4$ [52, 53]. Однак ми спробували обчислити значення критичного показника ν на підставі пересумованого за Паде–Борелем $\sqrt{\varepsilon}$ -розділення [31, 53]. Результати зображені на рис. 5 ромбиками. Видно, що вони мають сенс лише поблизу $d = 4$.

d	ν	η	α	ν	η	α
2.0	1.012	.198	-0.024	0.966	0.097	0.067
2.1	0.960	.167	-0.016	0.923	0.084	0.062
2.2	0.914	.141	-0.011	0.884	0.073	0.056
2.3	0.873	.119	-0.007	0.848	0.064	0.049
2.4	0.837	.100	-0.009	0.816	0.055	0.041
2.5	0.804	.083	-0.010	0.787	0.047	0.033
2.6	0.774	.069	-0.012	0.760	0.040	0.025
2.7	0.747	.057	-0.017	0.735	0.034	0.016
2.8	0.722	.047	-0.022	0.712	0.028	0.007
2.9	0.699	.038	-0.027	0.691	0.023	-0.002
3.0	0.678	.031	-0.034	0.671	0.019	-0.012
3.1	0.658	.024	-0.040	0.652	0.015	-0.021
3.2	0.640	.019	-0.048	0.634	0.012	-0.030
3.3	0.622	.014	-0.053	0.618	0.009	-0.038
3.4	0.606	.010	-0.060	0.602	0.006	-0.046
3.5				0.587	0.004	-0.054
3.6				0.572	0.002	-0.061
3.7				0.558	0.001	-0.066
3.8				0.544	0.000	-0.066

Таблиця III. Значення критичних показників ν , η , α як функції d для слабо розведеній замороженої моделі Ізинга. Двопетлеве (колонки 2,3,4) [31] і трипетлеве (колонки 5,6,7) [35] наближення.

Згідно з критерієм Гарриса [45] двовимірна розведені модель Ізинга характеризується тим самим набором критичних показників, що й чиста модель. Справедливість такого твердження для критичних показників доведена наявними точними результатами та результатами симуляцій Монте–Карло (див., наприклад, огляд [50]). Наші результати у дво- і трипетлевому наближеннях для двовимірної теорії $\nu = 1.012$ і $\nu = 0.966$ різняться від онзагерівського розв'язку $\nu = 1$ на величини порядку кількох процентів. У тривимірній теорії найточніше значення критичного показника ν , отримане з пересумованого чотирипетлевого наближення $\nu = 0.6701$ [49], добре узгоджується з даними таблиці III у дво- і трипетлевому наближеннях: $\nu = 0.678$, $\nu = 0.671$. Відносна точність визначення критичного показника парної кореляційної функції η нижча (порівн. дані таблиці III при $d = 2$ із онзагерівським $\eta(d = 2) = 1/4$ і при $d = 3$ із чотирипетлевим результатом $\eta(d = 3) = 0.0343$).

Із наведених даних видно, що точність одержаних

результатів залежить від d і у випадку критичного показника кореляційної довжини зростає від величини порядку кількох процентів при $d = 2$ до додаткового процента при $d = 3$. Така ситуація (подібно, як і у теоріях з однією константою взаємодії, розглянутих вище) зумовлена різницею у значеннях чисельних коефіцієнтів, що входять у ряди теорії збурень. Це у свою чергу викликає зростання параметра розкладу — координати нерухомої точки. Та все одно наші значення критичних показників розведеній моделі Ізинга при довільному d є на сьогодні найточнішими в порівнянні з даними, отриманими за допомогою інших підходів.

VI. ВИСНОВКИ

У цій статті ми розглянули застосування методу теоретико–польової ренормалізаційної групи для до-

слідження критичної поведінки при нецілій вимірності простору. Наведені в роботі результати об'єднують спільній способ обчислень: масивне перенормування при нецілій вимірності простору [31,32]. Основною технічною трудністю, що виникає при реалізації програми обчислень при фіксованому d , є необхідність визначення числових значень петлевих інтегралів. При $d = 2$ і $d = 3$ ці значення знайшли Б. Нікель, Д. Мейрон і Г. Бейкер (мол.) [28], при нецілих значеннях $0 \leq d \leq 4$ дво- та трипетлеві інтеграли отримані в [29]. У розділах III і IV подані обчислені в такій схемі значення критичних показників моделі Ізинга [38] та m -векторної моделі [43] при значеннях d між верхньою та нижньою критичними вимірностями. При цьому β - та γ -функції моделей отримані в трипетлевому наближенні для довільної вимірності простору [40]. Разом із одержаними в [29] числовими значеннями петлевих інтегралів ці вирази дозволяють провести аналіз критичної поведінки згаданих моделей при довільній вимірності простору. Для отримання надійних значень критичних показників у ділянці d поблизу нижньої критичної вимірності необхідно вдосконалити процедуру пересумування асимптотичних рядів для РГ функцій. Тут з цією метою ми доповнили процедуру пересумування трипетлевого ряду за Паде–Борелем пересумуванням чотирипетлевого ряду, обираючи чотирипетлевий член за вільний параметр [38,43]. Цей вільний параметр визначається з відомих точних результатів для характеристик критичної поведінки моделей, що нас цікавлять. Однією з переваг нашого підходу є те, що він дозволяє розглянути всю ділянку вимірнос-

тей $1 \leq d \leq 4$ для моделі Ізинга і $2 \leq d \leq 4$ для m -векторної моделі.

Більшість із робіт про дослідження критичної поведінки при довільному нецілому значенні d базується на аналітичному продовженні за d , що має формальний характер (це не стосується, звичайно, критичної поведінки на фрактальних гратках). Зокрема, наш підхід, так само, як техніка ε -розкладу, базується на аналітичному продовженні петлевих інтегралів $\int dk \sim \int k^{d-1} dk$. У роботі [54] навіть піддавався сумніву той факт, що, виконуючи таке аналітичне продовження, можна описати феромагнетне впорядкування для нецілих d . Таким чином, добрий збіг наших даних для моделі Ізинга з даними, отриманими іншими методами (у ділянках d , де ці методи застосовні), є ще одним непрямим свідченням взаємної відповідності між “просторовими вимірностями”, що виникають у різних схемах.

Слід також зазначити, що тоді як для моделі Ізинга і m -векторної моделі наш метод дослідження є одним із можливих способів аналізу критичної поведінки, у випадку розведененої моделі Ізинга перенормування при фіксованому d є єдиним у теоретико–польовій РГ схемі, що дозволяє отримати надійні значення критичних показників при довільній вимірності простору.

На закінчення хочу подякувати моїм колегам: Миколі Шпотові, Тарасові Крохмальському, Тарасові Одушкіну, Тарасові Яворському та Андрієві Стосикові за співпрацю у виконанні різних етапів поданих тут досліджень.

-
- [1] Н. Н. Боголюбов, Д. В. Ширков, Докл. Акад. Наук ССР **103**, 203 (1955); *ibid* **103**, 391 (1955); Nuovo Cimento **3**, 845 (1956).
- [2] Е. С. Г. Стюекельберг, А. Петерманн, Helv. Phys. Acta **25**, 499 (1953).
- [3] М. Гел–Манн, Ф. Е. Лоу, Phys. Rev. **95**, 1300 (1954).
- [4] Див., наприклад, Д. В. Ширков, in: *Renormalization Group*, edited by D. Shirkov, D. Kazakov, A. Vladimirov (World Scientific, Singapore, 1988), p. 1; Д. В. Ширков, in: *Renormalization Group'91*, edited by D. V. Shirkov, V. B. Priezzhev (World Scientific, Singapore, 1992), p. 1.
- [5] Див., наприклад, Е. Брезін, Ж. С. Ле Гійо, Ж. Зінн–Жустін, in *Phase Transitions and Critical Phenomena* **6**, edited by C. Domb, M. S. Green (Academic Press, New York, 1976), p. 125; Д. І. Аміт, *Field Theory, the Renormalization Group, and Critical Phenomena* (World Scientific, Singapore, 1984); Ж. Зінн–Жустін, *Quantum field theory and critical phenomena* (Oxford University Press, Oxford, 1989).
- [6] К. Г. Вілсон, М. Е. Фішер, Phys. Rev. Lett. **28**, 240 (1972).
- [7] Д. І. Воллес, Р. К. Р. Зія, Phys. Rev. Lett. **43**, 808 (1979).
- [8] Д. Форстер, А. Габріунас, Phys. Rev. A **23**, 2627 (1981).
- [9] D. Forster, A. Gabriunas, Phys. Rev. A **24**, 598 (1981).
- [10] A. D. Bruce A.D., D. J. Wallace, Phys. Rev. Lett. **47**, 1743 (1981).
- [11] Д. Е. Хмельницький, Журн. експ. теор. фіз. **68**, 1960 (1975).
- [12] G. Grinstein, A. Luther, Phys. Rev. B **13**, 1329 (1976).
- [13] M. E. Fisher, D. S. Gaunt, Phys. Rev. **133**, A224 (1964).
- [14] S. L. Katz, M. Droz, J. D. Gunton, Phys. Rev. B **15**, 1597 (1977).
- [15] J. C. Le Guillou, J. Zinn-Justin, J. Phys. (Paris) **48**, 19 (1987).
- [16] B. Bonnier, Y. Leroyer, C. Meyers, Phys. Rev. B **37**, 5205 (1988).
- [17] B. Bonnier, Y. Leroyer, C. Meyers, Phys. Rev. B **40**, 8961 (1989).
- [18] B. Bonnier, M. Hontebeyrie, J. Phys. (Paris) **I1**, 5205 (1991).
- [19] M. A. Novotny, Europhys. Lett. **17**, 297 (1992); M. A. Novotny, Phys. Rev. B **46**, 2939 (1992).
- [20] Y. Gefen, B. Mandelbrot, A. Aharony, Phys. Rev. Lett. **45**, 855 (1980).
- [21] B. B. Mandelbrot, *Fractals: form, chance, and dimension* (W. H. Freeman and Co, New York, 1977); *The fractal geometry of nature* (W. H. Freeman and Co, New York,

- 1983).
- [22] Y. Wu, B. Hu, Phys. Rev. A **35**, 1404 (1987).
 - [23] B. Hu, Phys. Rev. B **33**, 6503 (1986).
 - [24] G. Parisi G. in: *Proceedings of the Cargèse Summer School*, 1973; J. Stat. Phys. **23**, 49 (1980).
 - [25] J. L. Cardy, H. W. Hamber, Phys. Rev. Lett. **45**, 499 (1980).
 - [26] А. Э. Филиппов, А. В. Радиевский, Журн. экспр. теор. физ. **102**, 1899 (1992); S. A. Breus, A. E. Filippov, Physica A **192**, 486 (1992).
 - [27] K. E. Newman, E. K. Riedel, Phys. Rev. B **25**, 264 (1982).
 - [28] B. G. Nickel, D. I. Meiron, G. A. Baker, Jr., *Univ. of Guelph Report* (Guelph, 1977).
 - [29] Yu. Holovatch, T. Krokhmal's'kii, J. Math. Phys. **35**, 3866 (1994).
 - [30] J. C. Le Guillou, J. Zinn-Justin, Phys. Rev. B **21**, 3976 (1980); R. Guida, J. Zinn-Justin, J. Phys. A **31**, 8103 (1998).
 - [31] Yu. Holovatch, M. Shpot, J. Stat. Phys. **66**, 867 (1992); Вопр. ат. науки и техн. **24**, 48 1992; in *Renormalization Group '91*, edited by D. V. Shirkov, V. B. Priezzhev (World Scientific, Singapore, 1992), p. 45.
 - [32] Yu. Holovatch, in: *Lecture Notes in Physics* **477** (Springer Verlag, Berlin, 1996) p.224; Cond. Matt. Phys. (Lviv) **3**, 33 (1994).
 - [33] Тут і нижче $\{\lambda_0\}$, $\{\lambda\}$ означає весь набір констант взаємодії, що входять у лагранжіан. Так, для лагранжіана (1) $\{\lambda_0\} = \lambda_0$ а для лагранжіана (3) $\{\lambda_0\} = \lambda_{0,1}, \lambda_{0,2}$. $\Gamma_{\lambda_i}^{(4)}$ означає частину чотиричастинкової функції, що відповідає своєю симетрією константі λ_i .
 - [34] Тут ми перейшли до нової перенормованої змінної u і β -функції β_u щоб ввести зручний чисельний масштаб, у якому перші два коефіцієнти функції β_u рівні -1 і 1.
 - [35] Yu. Holovatch, T. Yavors'kii, Cond. Matt. Phys. (Lviv) **11**, 87 (1997); J. Stat. Phys., **92**, 785 (1998); in *Proc. 11th Sem. Phase Transitions and Crit. Phenomena* (W.Trzebiatowski Inst. of Low Temp. and Struct. Research, Wroclaw, 1998), p. 146.
 - [36] G. H. Hardy, *Divergent Series* (Oxford University, Oxford, 1948).
 - [37] L. Schäfer, C. von Ferber, U. Lehr, B. Duplantier, Nucl. Phys. B. **374**, 473 (1992).
 - [38] Yu. Holovatch, Теор. мат. физ. **96**, 482 (1993).
 - [39] B. G. Nickel, J. Math. Phys. **19**, 542 (1977).
 - [40] Yu. Holovatch, Int. J. Mod. Phys. A. **8**, 5329 (1993); Saclay preprint SphT/92-123.
 - [41] G. A. Baker, Jr., B. G. Nickel, D. I. Meiron, Phys. Rev. B **17**, 1365 (1978).
 - [42] N. D. Mermin, P. Wagner, Phys. Rev. Lett. **17**, 1133 (1966); P. Hohenberg, Phys. Rev. **158**, 383 (1967).
 - [43] Yu. Holovatch, Ferroelectrics **192**, 55 (1997).
 - [44] M. Kac, T. N. Berlin, Phys. Rev. **86**, 821 (1952).
 - [45] A. B. Harris, J. Phys. C **7**, 1671 (1974).
 - [46] C. Bervillier, Phys. Rev. B **34**, 8141 (1986).
 - [47] G. Jug, Phys. Rev. B **27**, 609 (1983).
 - [48] C. Jayaprakash, H. J. Katz, Phys. Rev. B **16**, 3987 (1977); Б. Н. Шалаев, Журн. экспр. теор. физ. **73**, 2301 (1977).
 - [49] I. O. Mayer, A. I. Sokolov, B. N. Shalaev, Ferroelectrics **95**, 93 (1989); I. O. Mayer, J. Phys. A **22**, 2815 (1989).
 - [50] B. N. Shalaev, Phys. Rep. **237**, 129 (1994).
 - [51] B. N. Shalaev, S. A. Antonenko, A. I. Sokolov, Phys. Lett. A **230**, 105 (1997)
 - [52] R. Folk, Yu. Holovatch, T. Yavors'kii, Письма журн. экспр. теор. физ. **69**, 698 (1999); [JETP Lett. **69**, 747 (1999)].
 - [53] R. Folk, Yu. Holovatch, T. Yavors'kii, Журн. фіз. досл. **2**, 213 (1998).
 - [54] G. A. Baker Jr., L. P. Beno, J. Stat. Phys. **29**, 699 (1982).

MASSIVE RENORMALIZATION IN NON-INTEGER DIMENSIONS

Yu. Holovatch^{1,2}

¹Institute for Condensed Matter Physics, Ukrainian Acad. Sci.,

1 Svientsitskii Str., Lviv, UA-79011, Ukraine

²The Ivan Franko National University of Lviv, Chair for Theoretical Physics

12 Drahomanov Str., Lviv, UA-79005, Ukraine

E-mail: hol@icmp.lviv.ua

A method to study critical behaviour in the non-integer space dimension d is discussed. Calculations are performed on the base of the massive field theory equations (Callan-Symanzik equations) at fixed non-integer d . Quantitative characteristics of the critical behaviour of several popular models of statistical physics are reviewed.